

# ОСОБЕННОСТИ ФОРМИРОВАНИЯ ПРОДУКТОВ САМОРАСПРОСТРАНЯЮЩЕГОСЯ ВЫСОКОТЕМПЕРАТУРНОГО СИНТЕЗА В МАГНИТНОМ ПОЛЕ

А. И. Кирдяшкин, Ю. М. Максимов, В. Д. Китлер, О. К. Лепакова,  
В. В. Буркин\*, С. В. Синяев\*

Томский филиал Института структурной макрокинетики и проблем материаловедения РАН,  
634050 Томск

\* НИИ прикладной математики и механики, 634050 Томск

Исследуется горение уплотненных смесей Ni+16% Al, Ni+50% Al, Co+30% S, Ti+58% FeB, Ti+20% C, FeO+10% Fe+18% Al в постоянном магнитном поле. Показано отсутствие влияния магнитного поля на скорость горения исследуемых систем. Обнаружено увеличение глубины превращения и укрупнение геометрических размеров фазовых составляющих конечного продукта реакции под действием поля в системах, содержащих ферромагнитный металл. Изменения продукта реакции связаны с дополнительным массопереносом за волной самораспространяющегося высокотемпературного синтеза.

Ранее проведенные исследования [1] показали, что самораспространяющийся высокотемпературный синтез (СВС) порошковых смесей насыпной плотности ферромагнитный металл + сера, металл + алюминий в магнитном поле индукцией до 0,17 Тл имеет ряд особенностей. Под действием магнитного поля скорость синтеза может уменьшаться и возрастать в 2–3 раза, расширяются концентрационные и геометрические пределы горения, макроструктура продуктов синтеза приобретает анизотропный характер, повышается глубина химического превращения продуктов. Наблюдаемые эффекты объясняются перегруппировкой ферромагнитных частиц смеси в направлении поля. Это ведет к изменению теплопроводности, масштаба гетерогенности системы и, как следствие, к изменению параметров СВС. В уплотненных смесях перегруппировка исходных частиц в магнитном поле затруднена их взаимным сцеплением и изменения скорости СВС не наблюдалось. Тем не менее было замечено некоторое влияние магнитного поля на структуру конечных продуктов [2].

В настоящей работе продолжены исследования влияния магнитного поля на структурообразование СВС-материалов. Предметом исследований являются уплотненные порошковые смеси, для которых эффект магнитной перегруппировки исходных компонентов практически исключен.

## МЕТОДИКА ИССЛЕДОВАНИЯ

Использовалось постоянное магнитное поле с индукцией до 1,9 Тл. Схема эксперимента представлена на рис. 1. Цилиндрические образцы уплотненной порошковой смеси (пористость 40÷55%) в кварцевой оболочке помещали в зазор электромагнита. Электромагнит включался до инициирования процесса нагретой электроспиралью и выключался через 3÷4 мин после прохождения волны СВС. Синтез проводился в порошковых смесях никель + алюминий, кобальт + сера, сплав железа с бором + титан, титан + углерод, где в качестве исходных ком-

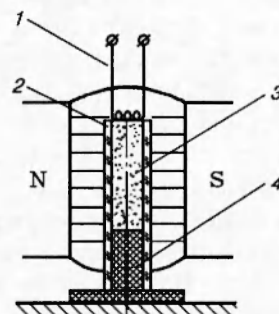


Рис. 1. Схема эксперимента:

1 — запальная спираль, 2 — кварцевая трубка, 3 — порошковая смесь, 4 — подставка, S, N — полюса электромагнита

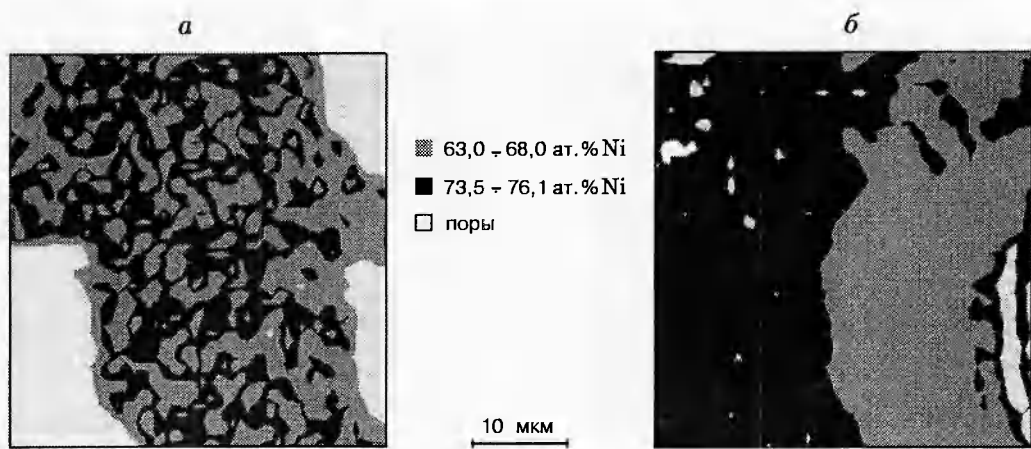


Рис. 2. Карта распределения никеля в продуктах СВС смеси Ni+16 % Al (по массе):  
а — синтез в обычных условиях, б — в магнитном поле

понентов использовали промышленные порошки никеля ПНКОТ, алюминия АСД-4, кобальта ПК-1, титана ПТЭМ-1, сажи ПМ-15, серы, сплав FeB (21,0 % В по массе).

Продукты синтеза исследовали с использованием светооптической металлографии, рентгенофазового и микрорентгеноспектрального анализов. При проведении микрорентгеноспектрального анализа применен режим сканирования, позволяющий получить двумерную картину распределения концентрации элементов. Суть метода состоит в автоматизированном измерении концентрации в множестве равноудаленных точек образца (использовалось 1600 точек) в пределах заданного участка поверхности с последующей компьютерной обработкой данных. Принципиальным этапом обработки данных является построение линий равной концентрации (изолиний), которые в идеальном случае совпадают с границами раздела фазовых составляющих, а картина распределения соответствует расположению реальных фаз в образце. В силу ограниченности точности измерения концентрации ( $\pm 0,2 \div 0,5$  ат.%) и пространственного разрешения ( $2 \div 3$  мкм) не всегда удавалось выделить границы раздела фаз, близких по химическому составу, а также мелкодисперсных фаз. Поэтому при интерпретации результатов принималось, что получаемая картина распределения концентрации соответствует расположению псевдофаз — областей с заданными интервалами измеряемой концентрации элементов. Псевдофаза может соответствовать одной конкретной химической фазе, а

также может быть областью мелкодисперсной смеси фаз (эвтектики, перитектики и др.) или смеси фаз близкого химического состава.

## ЭКСПЕРИМЕНТАЛЬНЫЕ РЕЗУЛЬТАТЫ

Как показали эксперименты, линейная скорость синтеза исследуемых порошковых систем составляет  $2 \div 10$  мм/с и практически не меняется при включении электромагнита. Последнее свидетельствует об отсутствии влияния постоянного поперечного магнитного поля на кинетику основных химических превращений в волне СВС. С другой стороны, обнаружено заметное видоизменение состава и структуры конечных продуктов реакции под действием поля, что, по-видимому, реализуется на этапе формирования материала за волной СВС.

*Смесь Ni + 16 % Al (по массе).* Согласно данным рентгенофазового анализа продукты синтеза состоят из фаз  $\text{Ni}_3\text{Al}$ ,  $\text{Ni}_2\text{Al}_3$ , Ni,  $\text{NiAl}$ . Металлографический и микрорентгеноспектральный анализ показывают, что материал представляет собой пористый композит, структура которого характеризуется двумя чередующимися псевдофазами, содержащими 73,5 ± 76,1 ат.% Ni и 63,0 ± 68,0 ат.% Ni (рис. 2). В отдельных местах композита имеются участки, обогащенные никелем до 80 ат.%. Первая псевдофаза по составу близка к соединению  $\text{Ni}_3\text{Al}$ , состав второй определяется, по-видимому, смесью различных мелкодисперсных фаз. Характер наблюдаемой микроструктуры и вид фазовых равновесий по диаграмме состояния системы Ni-Al [3] указывает

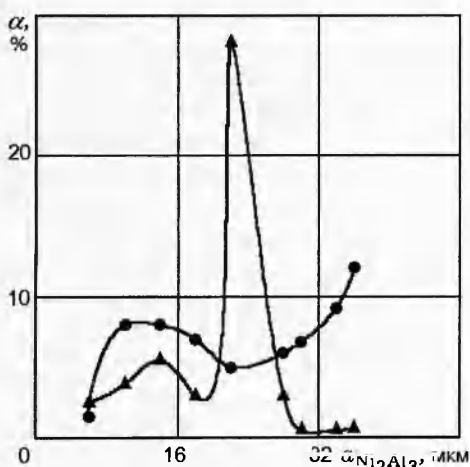


Рис. 3. Распределение областей  $\text{Ni}_2\text{Al}_3$  по размерам в продуктах СВС смеси  $\text{Ni} + 50\% \text{Al}$  (по массе):

▲ — синтез в обычных условиях, ● — в магнитном поле; *a* — размеж областей  $\text{Ni}_2\text{Al}_3$ ,  $\alpha$  — их объемная доля

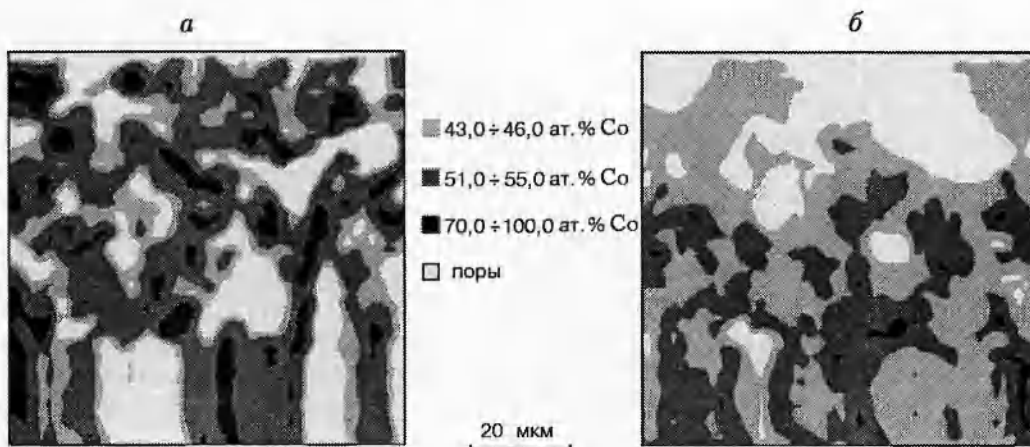


Рис. 4. Карта распределения кобальта в продуктах СВС смеси  $\text{Co} + 30\% \text{S}$  (по массе):  
а — синтез в обычных условиях, б — в магнитном поле

на то, что формирование состава происходит путем кристаллизации высокотемпературного расплава по эвтектическому и перитектическому механизмам. Сравнительный анализ продуктов показывает, что под действием магнитного поля снижается количество чистого никеля, что свидетельствует о повышении глубины химического превращения компонентов. Под действием поля наблюдается пространственное разделение и укрупнение геометрических размеров псевдофаз (см. рис. 2).

*Смесь Ni + 50 % Al.* По данным анализов продукты синтеза состоят из фаз  $\text{Ni}_2\text{Al}_3$  и  $\text{NiAl}_3$ , структура материала характеризуется двумя чередующимися псевдофазами, по составу близкими к  $\text{Ni}_2\text{Al}_3$  и  $\text{NiAl}_3$ . Под действием магнитного поля размер структурных составляющих увеличивается. В магнитном по-

ле размер областей  $\text{Ni}_2\text{Al}_3$  увеличивается примерно в два раза, изменяется качественный характер распределения для областей размером более 30 мкм, которые при синтезе в обычных условиях практически отсутствуют (рис. 3).

*Смесь Co + 30 % S.* Согласно рентгенофазовому анализу продукт синтеза состоит из смеси фаз  $\text{Co}_9\text{S}_8$ ,  $\text{Co}_3\text{S}_4$ . Структура материала носит следы плавления при синтезе и представляет собой композицию трех псевдофаз: 43,0-46,0 ат.-% Co, 51,0-56,0 ат.-% Co, 70,0-100,0 ат.-% Co (рис. 4). Первые две псевдофазы по составу близки к  $\text{Co}_3\text{S}_4$  и  $\text{Co}_9\text{S}_8$  соответственно, последняя, по-видимому, является смесью кобальта и сульфидов. Из рис. 4 видно, что под действием магнитного поля происходит укрупнение структурных элементов материала, изменяется соотношение псевдофаз в

сторону увеличения доли областей, обогащенных серой. Это согласуется с данными рентгенофазового анализа, показывающего уменьшение количества  $\text{Co}_9\text{S}_8$  и увеличение  $\text{Co}_3\text{S}_4$  в продуктах синтеза в поле.

**Смесь Ti + 58 % FeB.** Согласно рентгенофазовому анализу продукт синтеза состоит из смеси  $\text{TiB}_2$ ,  $\text{Fe}_2\text{B}$ , FeB, Fe. Структура продукта носит следы плавления при синтезе и представляет собой композицию зерен  $\text{TiB}_2$ , окруженную матрицей из смеси Fe и других фаз. Под действием магнитного поля снижается количество фазы FeB, т. е. увеличивается глубина химического превращения исходного ферроборного сплава, происходит укрупнение и объединение зерен  $\text{TiB}_2$ .

**Смесь Ti + 20 % C.** Продукт синтеза представляет собой фазу  $\text{TiC}$ . Изменений структуры и фазового состава под действием магнитного поля не обнаружено.

К причинам изменения состава и структуры продуктов синтеза в магнитном поле можно отнести явление магнитофореза гетерогенных систем [4] и связанный с ним дополнительный массоперенос компонентов. В результате магнитофореза происходят пространственное разделение жидких и твердых фаз, сближение и объединение растущих из расплава микрокристаллов в продуктах реакции за волной СВС. Взаимное движение фазовых составляющих системы интенсифицирует диффузионный массобмен. Явление связано с появлением дополнительного давления на границе раздела фаз в магнитном поле:  $\Delta p \sim (I_1^2 - I_2^2)$ , где  $I_1$ ,  $I_2$  — намагниченности фаз, которое при наличии неоднородности поля создает силу, подобную архимедовой, вызывающую разделение жидких и твердых фаз. Эффект пропорционален разнице магнитных свойств фаз и, естественно, ослабляется при наличии слабо магнитных компонентов. Последнее, по-видимому, объясняет отсутствие воздействия поля на продукты синтеза в системе Ti-C.

Эффект магнитного разделения фаз подтверждается значительным увеличением полноты отделения железа от шлака при горении металлокерамической системы  $\text{FeO} + 10\% \text{Fe} + 18\% \text{Al}$ . Продукты горения системы — железо и оксид алюминия — значительно отличаются магнитными свойствами. Как показали лабораторные эксперименты, в магнитном поле полнота отделения металла от шлака возрастает от 45 до 65 % по отношению к расчетному показателю.

## ВЫВОДЫ

Использование магнитного поля с индукцией до 1,9 Тл позволяет заметно видоизменять состав и структуру продуктов СВС уплотненных порошковых смесей, содержащих ферромагнитный компонент. Наблюдаемые эффекты связаны с возникновением дополнительного массопереноса в продуктах реакции за волной СВС.

## ЛИТЕРАТУРА

1. Кирдяшкин А. И., Максимов Ю. М., Мержанов А. Г. Влияние магнитного поля на горение гетерогенных систем с конденсированными продуктами реакции // Физика горения и взрыва. 1986, Т. 22, № 6. С. 65–72.
2. Кирдяшкин А. Н., Максимов Ю. М., Чекулкина О. Д. К возможности влияния магнитного поля на структурообразование СВС-материалов // Самораспространяющийся высокотемпературный синтез / Под ред. Ю. М. Максимова. Томск: Изд-во Том. ун-та, 1991. С. 56–62.
3. Вол А. Е. Строение, свойства двойных металлических систем. М.: Физматгиз, 1959. Т. 1.
4. Блум Э. Я., Михайлов Ю. А., Дзоле Р. Я. Тепло- и массообмен в магнитном поле. Рига: Знание, 1980.

Поступила в редакцию 9/VII 1998 г.,  
в окончательном варианте — 28/XII 1998 г.